

Problème :

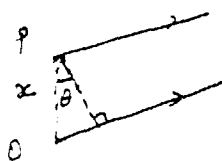
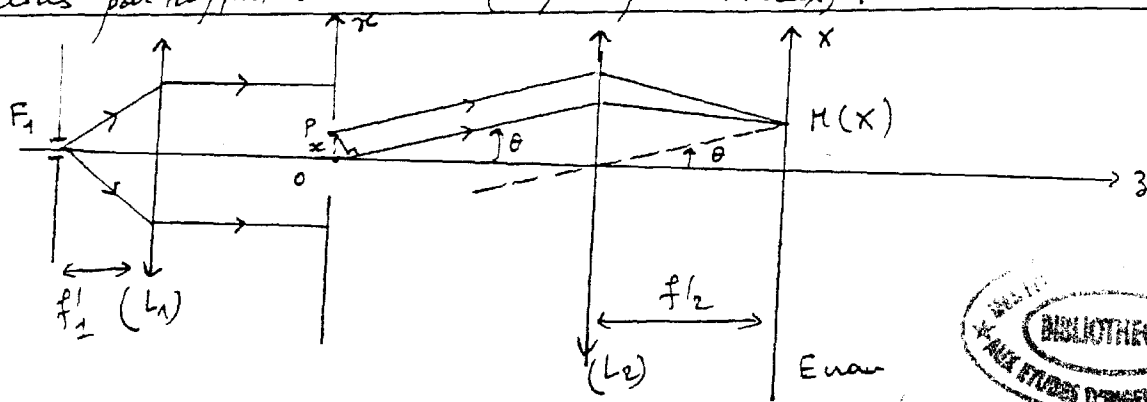
Principe de Huygens-Fresnel :

Chaque point P d'une surface (S) atteinte par la lumière provenant d'une source primaire se comporte comme une source secondaire émettant une onde sphérique, ou ondelette, d'amplitude au P proportionnelle à celle de l'onde incidente et à l'élément dS entourant le point P .

Les sources secondaires sont cohérentes et les différents ondelettes émises interfèrent entre elles : en un point M , l'amplitude s'ajoutent.

- La diffraction de Fraunhofer est observable lorsque la source primaire et l'œil d'observation sont très éloignés de la pupille diffractante de sorte qu'on les considère à l'infini. 1

- L'approximation de Gauss est l'approximation linéaire de l'optique géométrique. Les rayons envoyés par un objet situé au voisinage de l'axe optique du système ont de faibles inclinaisons et sont peu inclinés par rapport à cet axe (rayons paraxiaux). 1



$$\delta(r) = (F_1 \cdot r) - (F_1 \cdot p) = x \sin \theta$$

$$\ell(r) = \frac{2\pi}{\lambda} x \sin \theta \approx \frac{2\pi}{\lambda} x \cdot \theta.$$

$$A_0(\theta) = a_0 \int_{-\alpha_c}^{\alpha_c} e^{j \frac{2\pi}{\lambda} x \sin \theta} dx \Rightarrow A_0(\theta) = a \cdot a_0 \operatorname{sinc}\left(\frac{\pi a \sin \theta}{\lambda}\right)$$

$$\sin \theta \approx \theta = \frac{x}{f'_2} \Rightarrow A_0(x) = a \cdot a_0 \operatorname{sinc}\left(\frac{\pi a x}{\lambda f'_2}\right)$$

1,5

$$I(x) = I_0 \operatorname{sinc}^2\left(\frac{\pi a x}{\lambda f'_2}\right)$$

0,5

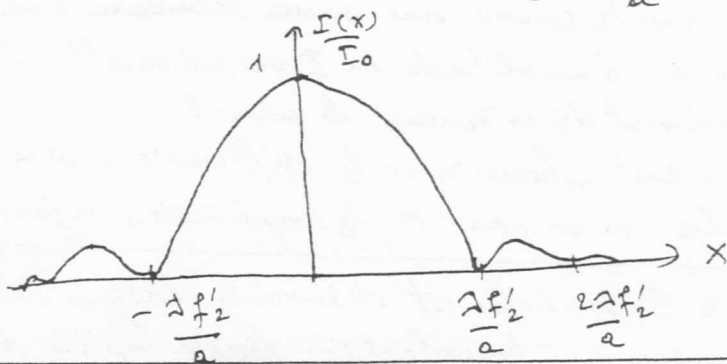
$I(x)$ admet un max principal pour $x=0$; $I(0)=I_0$.

pour $x \neq 0$, $I(x)$ s'annule pour $\boxed{x_{\min} = \frac{a}{\lambda} \frac{f'_2}{2}}$, $f'_2 \in \mathbb{Z}^*$

0,5

$I(x)$ admet un max secondaire pour: $u = \tan x$, $u = \frac{\pi a x}{\lambda f_2'}$

→ résolution graphique, $x_{max,s} \approx \frac{(2h+1)}{2} \cdot \frac{\lambda f_2'}{a}$, $h \in \mathbb{Z}^*$
d'où $I(x)$:



1

0,5

7-2-

$$\Delta x_0 = \frac{2\lambda f_2'}{a}$$

1

7-3-

$$x_{max,s} = \frac{(2h+1)}{2} \frac{\lambda f_2'}{a} \Rightarrow \frac{I_{max,s}}{I_0} = \frac{4}{(2h+1)^2 \pi^2}$$

2

$$h=1 \approx \frac{I_1}{I_0} = 0,045 = 4,5\% \\ h=2 \approx \frac{I_2}{I_0} = 0,016 = 1,6\%$$

L'intensité des max secondaires est très faible devant celle du max principal (central).

8-1-

$$A_1(\theta) = A_0 \int_{b-\frac{a}{2}}^{b+\frac{a}{2}} e^{j \frac{2\pi x \sin \theta}{\lambda}} dx \Rightarrow A_1(\theta) = A_0 e^{j \frac{2\pi b \sin \theta}{\lambda}} \sin \left(\frac{\pi a \sin \theta}{\lambda} \right)$$

1,5

8-2-

$$A_1(\theta) = e^{j \frac{2\pi b \sin \theta}{\lambda}} \cdot A_0(\theta)$$

une translation de la fenêtre diffractante dans son plan revient à décaler l'origine θ dans le plan (xy) , et inversement une fenêtre de phase global dans l'amplitude diffractée.

1,5

8-3-

$$I_1(\theta) = A_1 A_1^* = I_0(\theta) \Rightarrow I_1(x) = I(x)$$

1

La figure de diffraction n'est pas modifiée suite à la translation de la fenêtre diffractante.

9-

$$A(\theta) = A_0 \int_{-a/2}^{a/2} \frac{1}{2} \left(1 + \cos \frac{2\pi x}{\lambda} \right) e^{j \frac{2\pi x \sin \theta}{\lambda}} dx$$

2

$$\Rightarrow A(\theta) = \frac{a A_0}{2} \left[\sin \left(\frac{\pi a \sin \theta}{\lambda} \right) + \frac{1}{2} \sin \left[\pi \left(\frac{\sin \theta}{\lambda} + \frac{1}{2} \right) a \right] + \frac{1}{2} \sin \left[\pi \left(\frac{\sin \theta}{\lambda} - \frac{1}{2} \right) a \right] \right]$$

$$10- A(x) = A_0 \left[\underbrace{\sin_c \left(\frac{\pi a x}{\lambda f'_2} \right)}_{①} + \frac{1}{2} \underbrace{\sin_c \left[\pi \left(\frac{x}{\lambda f'_2} + \frac{1}{\ell} \right) a \right]}_{②} + \frac{1}{2} \underbrace{\sin_c \left[\pi \left(\frac{x}{\lambda f'_2} - \frac{1}{\ell} \right) a \right]}_{③} \right]$$

avec $A_0 = a / \lambda_0$

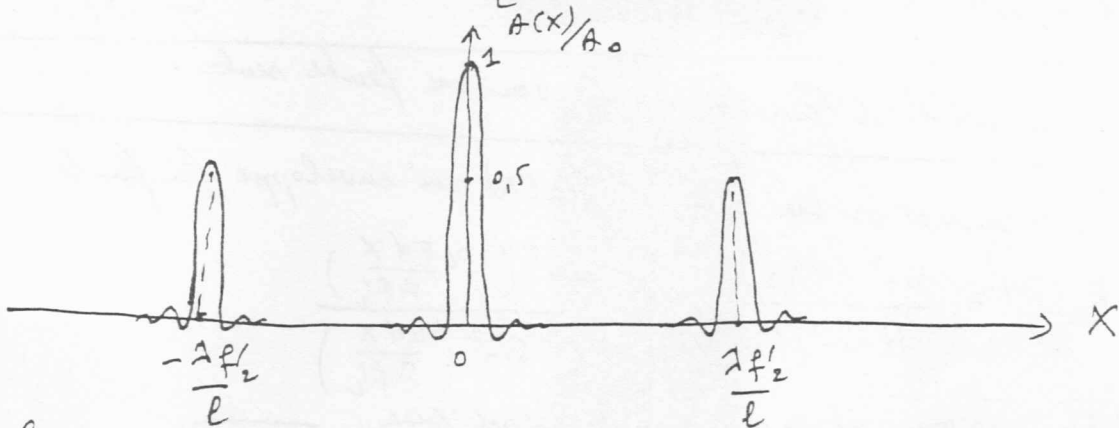
Les trois termes ①, ② et ③ sont des fonctions sinusoïdales :

- ① est nulle sur $\theta = 0$, soit $x = 0$

- ② " " $\theta = - \frac{1}{\ell}$ soit $x = - \frac{\lambda f'_2}{\ell}$

- ③ " " $\theta = \frac{1}{\ell}$ soit $x = \frac{\lambda f'_2}{\ell}$

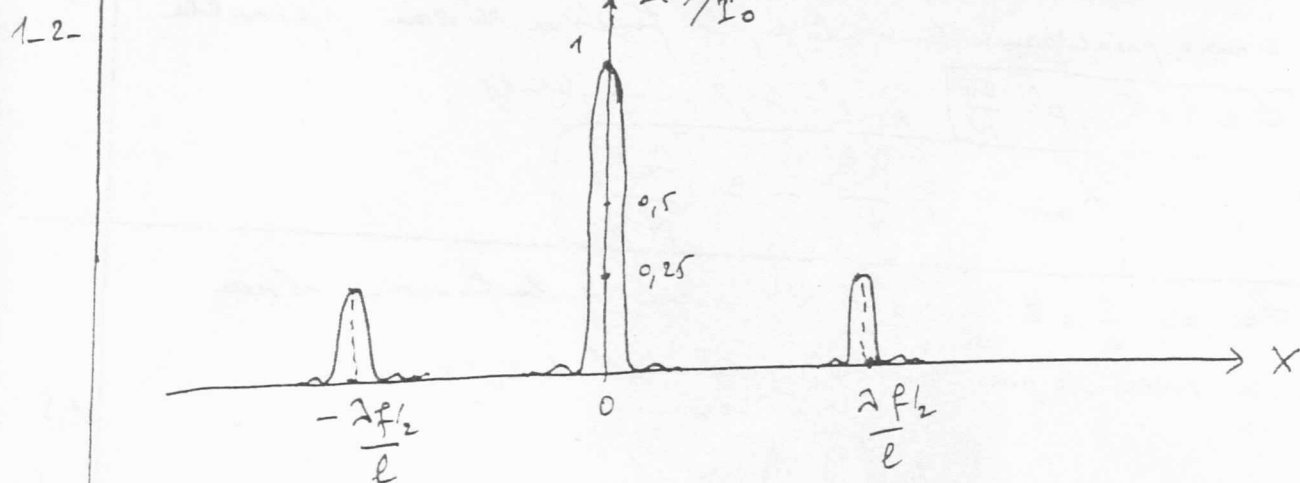
$$\ell \ll a \Rightarrow \frac{\lambda f'_2}{a} \ll \frac{\lambda f'_2}{\ell}$$



2

Les trois termes sont nuls à des positions suffisamment éloignées les unes des autres pour considérer qu'elles ne se recouvrent pas.

$$1-1- I(x) = I_0 \left[\sin^2_c \left(\frac{\pi a x}{\lambda f'_2} \right) + \frac{1}{4} \sin^2_c \left[\pi \left(\frac{x}{\lambda f'_2} + \frac{1}{\ell} \right) a \right] + \frac{1}{4} \sin^2_c \left[\pi \left(\frac{x}{\lambda f'_2} - \frac{1}{\ell} \right) a \right] \right] \quad 1$$



1

1,5

avec une telle transparence, on observe trois ordres. Il s'agit en fait de la diffraction par un réseau sinusoïdal.

On éclaire une plaque photographique à l'aide de deux ondes planes, monochromatiques, cohérents et de même amplitude. Ces deux ondes interfèrent sur la plaque avec un éclairage sinusoidal.

1

13- $\delta(n) = d \sin \theta \approx d \cdot \theta$, $\phi(n) = \frac{2\pi}{\lambda} d \sin \theta \approx \frac{2\pi d x}{\lambda f_2}$

1

14-1- $I_F(\theta)$: amplitude diffractée dans la direction θ par la 1^{re} fente se trouvant à l'extrémité du réseau:

$$A_R(\theta) = A_F(\theta) [1 + e^{j\phi} + \dots + e^{j(N-1)\phi}]$$

$$\Rightarrow A_R(\theta) = A_F(\theta) e^{j(N-1)\phi/2} \frac{\sin(N\phi/2)}{\sin(\phi/2)}$$

$$I_R(\theta) = I_F(\theta) \cdot \frac{\sin^2(N\phi/2)}{\sin^2(\phi/2)} \Rightarrow I_R(\theta) = I_F(x) \cdot \frac{\sin^2(N\phi/2)}{\sin^2(\phi/2)}$$

14-2- $I_F(x)$: intensité diffractée en M par une fente seule.

0,5

15-1- $I_R(\theta)$ est caractérisée par $N^2 I_F(x)$ qui enveloppe la fonction

$$\text{réseau } R(x) = \frac{\sin^2(N\phi/2)}{N^2 \sin^2(\phi/2)} = \frac{\sin^2(N\pi d x / \lambda f_2)}{N^2 \sin^2(\pi d x / \lambda f_2)}$$

1,5

La fonction réseau est paire et périodique.

$$\text{max principaux : } [\phi = 2p\pi] \Rightarrow \left[x_{\max} = p \cdot \frac{\lambda f_2}{d} \right], p \in \mathbb{Z}.$$

15-2- $I_F(x)$ s'annule pour $x = p \frac{\lambda f_2}{d}$, $p \in \mathbb{Z}^*$

$\frac{1}{a} \gg \frac{1}{d}$ \Rightarrow les max principaux se trouvent dans la tache centrale de diffraction.

1,5

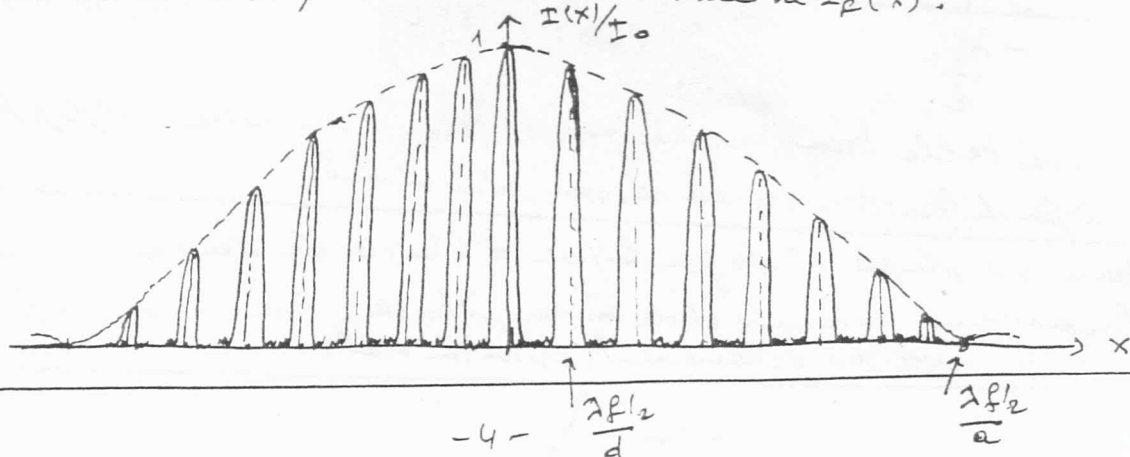
entre 2 max principaux consécutifs, la fonction réseau s'annule pour $[\phi = 2p\pi + p' \cdot \frac{2\pi}{N}]$; $p' = 1, 2, \dots, (N-1)$.

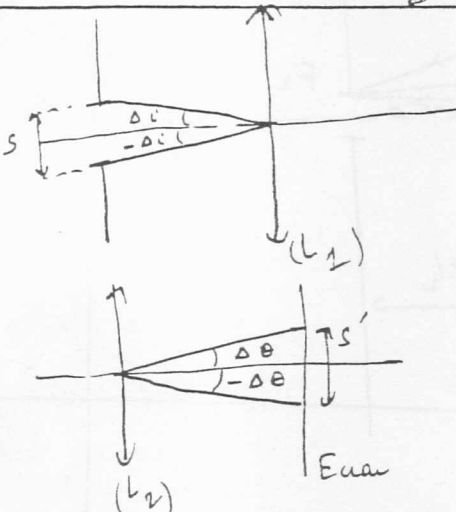
$$\text{Soit pour } \left[x_{\min} = p \frac{\lambda f_2}{d} + p' \frac{\lambda f_2}{N \cdot d} \right]$$

16- $d = 8a \Rightarrow \frac{1}{a} = 8 \cdot \frac{1}{d} \Rightarrow$ le 8^e ordre de la fonction réseau

circule avec le premier minimum nul de $I_F(x)$.

1,5



| | | |
|-------|---|-----|
| 17- | $\Delta X_{mp} = \frac{2f_2}{N.d}$ | 1 |
| 18- | à l'objectif : $\Delta X_1 = p \frac{f'_2}{d} \cdot \Delta \lambda$ | 1 |
| 19-1- | critère de Rayleigh : $\Delta X_1 > \Delta X_{mp} \Rightarrow \Delta \lambda > \frac{\lambda}{N.p} = (\Delta \lambda)_r$ | 1,5 |
| | $(\Delta \lambda)_r = \frac{\lambda}{N.p}$ | |
| 19-2- | $R = \frac{\lambda}{(\Delta \lambda)_r} = N.p$ | 1,5 |
| 20-1- | $\sin \theta - \sin i' = p \frac{\lambda}{d}$ | 1,5 |
| 20-2- |  <p>l'angle d'incidence sur le réseau varie de $i' = \frac{s}{2f'_2}$</p> <p>$\cos \theta d\theta - \cos i' d i' = 0$ $\cos \theta \approx \cos i' \approx 1 \Rightarrow \Delta \theta = \Delta i'$</p> <p>d'ici $s' = \frac{f'_2}{f'_2} \cdot s$</p> | 1,5 |
| 20-3- | $\Delta X_1 = p \cdot \frac{f'_2}{d} \cdot \Delta \lambda$ | 1 |
| 20-4- | separation si $\Delta X_1 \geq s' \Rightarrow \Delta \lambda \geq \frac{s.d}{p f'_2} = (\Delta \lambda)_s$ | 1 |
| 20-5- | $R_s = p \cdot \frac{2f'_2}{s.d}$ | 1 |
| 21-1- | $d = 2 \mu m ; N = 10.000 \approx R = 10.000$ $p = 2$ $R_s = 1472$ | 1,5 |
| | $R_s \ll R \Rightarrow (\Delta \lambda)_s \gg (\Delta \lambda)_r$ | |
| | le pouvoir de résolution est limité par la largeur de la fente F_2 . | |
| 21-2- | $(\Delta \lambda)_s = \frac{\lambda}{R_s} \quad A.n \quad (\Delta \lambda)_s = 0,4 nm$ | 1 |
| | $\Delta \lambda_{ma} = 0,6 nm > (\Delta \lambda)_s \Rightarrow$ les deux radiations de la sont séparées. | |

22- $\sin \theta = p \frac{\lambda}{d} \Rightarrow \theta = \arcsin(p \frac{\lambda}{d})$

p=1 $\theta_1 = 11,53^\circ$ $\theta'_1 = 19,26^\circ$
 (400 nm) (660 nm)

1

23- p=2 $\theta_2 = 23,57^\circ$ $\theta'_2 = 41,29^\circ$
 (400 nm) (660 nm)

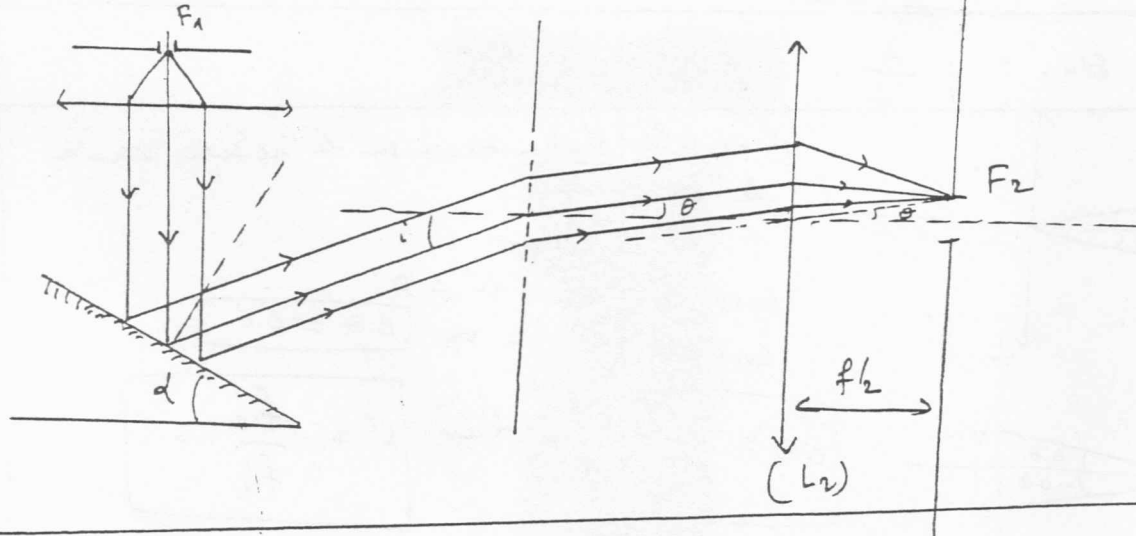
1

Il n'y a pas de recouvrement entre les spectres d'angle 1 et 2.

24- $d = \frac{1}{m}$; A.N: $d = 1\mu\text{m} = 10^{-6}\text{ m}$.

1

25-



1

26-1- $\sin \theta - \sin i_0 = p \frac{\lambda}{d}$

au centre de F_2 , $\theta = 0$ pour $i = i_0 > 0$ et $\lambda = \lambda_0 \Rightarrow p = -1$

1,5

$\Rightarrow \sin i_0 = \frac{\lambda_0}{d} \Rightarrow \boxed{i_0 = \arcsin(\frac{\lambda_0}{d})}$ A.N $i_0 = 30^\circ$

26-2- $\alpha = \frac{1}{2} (\frac{\pi}{2} - i)$; $\alpha_0 = \frac{1}{2} (\frac{\pi}{2} - i_0)$ A.N $\alpha_0 = 30^\circ$

1

27-1- $\theta = 0$, $p = -1$; $i = \arcsin(\frac{\lambda}{d})$

1

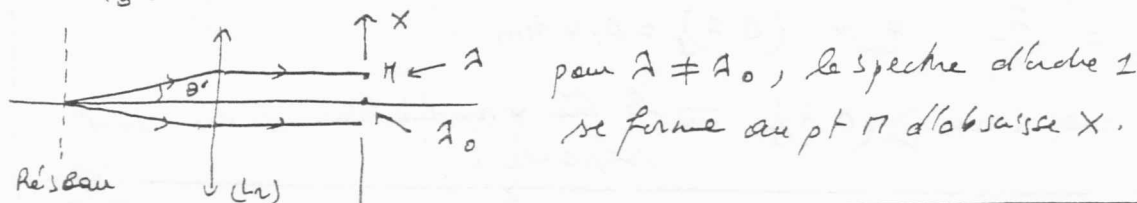
$\lambda_1 = 400\text{ nm} \rightsquigarrow i_1 = 23,57^\circ \rightsquigarrow \alpha_1 = 33,2^\circ$

$\lambda_2 = 660\text{ nm} \rightsquigarrow i_2 = 41,29^\circ \rightsquigarrow \alpha_2 = 24,35^\circ$

27-2- $\alpha_1 - \alpha_0 = 3,2^\circ$; $\alpha_2 - \alpha_0 = -5,65^\circ$

1

28- $\alpha = \alpha_0 = 30^\circ \Rightarrow$ au centre de F_2 : λ_0 .



1,5

89-

$$\sin \theta'_0 = \frac{\lambda_0}{d}$$

$$\sin \theta' = \sin \theta'_0 - \frac{\lambda}{d} \Rightarrow \sin \theta' = \frac{\lambda_0 - \lambda}{d} \approx \frac{x}{f'_2}$$

$$\Rightarrow X = \frac{f'_2}{d} (\lambda_0 - \lambda)$$

1,5

90-1-

$$\sin \theta'_{\max} \approx \frac{h}{2f'_2} \text{ et } \lambda_0 - \lambda = \frac{\Delta \lambda_1}{2}$$

$$\Rightarrow \frac{\Delta \lambda_1}{2d} = \frac{h}{2f'_2} \Rightarrow \boxed{\Delta \lambda_1 = \frac{d \cdot h}{f'_2}}$$

A. n° $\Delta \lambda_1 = 1 \text{ nm} = 10^{-9} \text{ m}$.

1,5

90-2-

$$R = \frac{\lambda_0}{(\Delta \lambda)_r} = N \cdot p \Rightarrow \boxed{(\Delta \lambda)_r = \frac{\lambda_0}{N \cdot p}}$$

$$(\Delta \lambda)_r = 0,025 \text{ mm}$$

1

90-3-

$$(\Delta \lambda)_r < \Delta \lambda_1$$

Le pouvoir de résolution de l'appareil est imposé par la largeur de la fente de source F_2 .

1